

## Pinhole model

世界坐标系与图像坐标系转化

$$\mathbf{x} = \mathbf{K}[\mathbf{R} \quad \mathbf{t}] \mathbf{X}$$

$\mathbf{x}$ : Image Coordinates: (u,v,1)

$\mathbf{K}$ : Intrinsic Matrix (3x3)

$\mathbf{R}$ : Rotation (3x3)

$\mathbf{t}$ : Translation (3x1)

$\mathbf{X}$ : World Coordinates: (X,Y,Z,1)

$$\mathbf{x} = \begin{bmatrix} u \\ v \\ 1 \end{bmatrix}$$

$$\mathbf{K} = \begin{bmatrix} a & yc & u0 \\ 0 & b & v0 \\ 0 & 0 & 1 \end{bmatrix}$$

a: 横坐标比例变化 (a \* 横坐标)

b: 纵坐标比例变化

a,b: focal length in pixel dimensions

u0,v0: cords of principal point

yc: skew

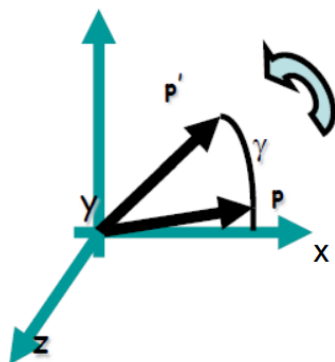
yc: y 错切, 目标纵坐标=原纵坐标 + yc \* 原横坐标

u0 v0 : 图像坐标系原点

自由度为 5

$$[\mathbf{R} \quad \mathbf{t}] = \begin{bmatrix} tx \\ ty \\ tz \end{bmatrix}$$

- Rotation around the coordinate axes,  
**counter-clockwise:**



$$R_x(\alpha) = \begin{bmatrix} 1 & 0 & 0 \\ 0 & \cos \alpha & -\sin \alpha \\ 0 & \sin \alpha & \cos \alpha \end{bmatrix}$$

$$R_y(\beta) = \begin{bmatrix} \cos \beta & 0 & \sin \beta \\ 0 & 1 & 0 \\ -\sin \beta & 0 & \cos \beta \end{bmatrix}$$

$$R_z(\gamma) = \begin{bmatrix} \cos \gamma & -\sin \gamma & 0 \\ \sin \gamma & \cos \gamma & 0 \\ 0 & 0 & 1 \end{bmatrix}$$

R: 代表旋转, 例子:  $R_x(a)$ , 固定 x 轴, 在 yz 平面逆时针转 a 度

顺时针则在 cos, sin 前加负号

t: tx, ty, tz 三维平移

R 自由度为 4

T 自由度为 2

Rt 自由度为 6

$X = [x, y, z, 1]^T$

## Color Space

RGB: 三维矩阵, R, G, B 组合代表颜色

HSV: 三维矩阵, H (决定颜色, hue), S (饱和度, saturation), V(灰度, value)

YUV (YCbCr): 三维矩阵, Y (灰度), U, V 决定颜色

---

## Conversions between different colour spaces

$$X_{max} := \max(R, G, B) =: V$$

$$X_{min} := \min(R, G, B)$$

$$C := X_{max} - X_{min}$$

$$r := \begin{cases} 0, & \text{if } C = 0 \\ 60^\circ \cdot \left(0 + \frac{G-B}{C}\right), & \text{if } V = R \\ 60^\circ \cdot \left(2 + \frac{B-R}{C}\right), & \text{if } V = G \\ 60^\circ \cdot \left(4 + \frac{R-G}{C}\right), & \text{if } V = B \end{cases}$$

$$S_V := \begin{cases} 0, & \text{if } V = 0 \\ \frac{C}{V}, & \text{otherwise} \end{cases}$$

$$Y = 0.299R + 0.587G + 0.114B$$

$$C_r = R - Y$$

$$C_b = B - Y$$

$$U = 0.492 * (B - Y)$$

$$V = 0.877 * (B - Y)$$

## Histogram and Application

直方图: 展示图片中每种灰度的比例

Histogram modification 用处: 图片增强, 增强对比度

Histogram equalization 用处: 增强局部对比度, 均衡灰度

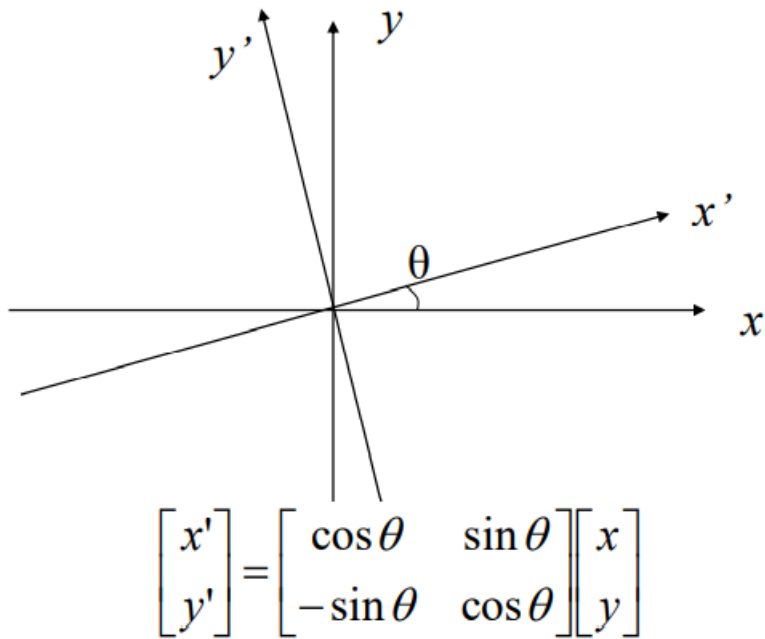
Histogram matching 用处: 模仿 (变成) 其他图片的直方图

## Wrapping 二维坐标变换矩阵

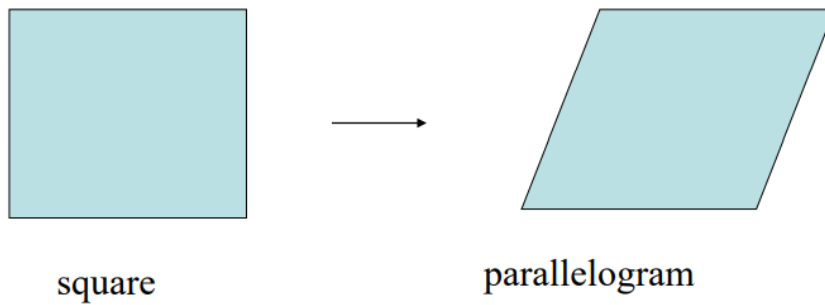
homography matrix H 图形变换矩阵

$$\begin{bmatrix} x' \\ y' \end{bmatrix} = \underbrace{\begin{bmatrix} a & 0 \\ 0 & b \end{bmatrix}}_{\text{scaling matrix } S} \begin{bmatrix} x \\ y \end{bmatrix}$$

# Rotation



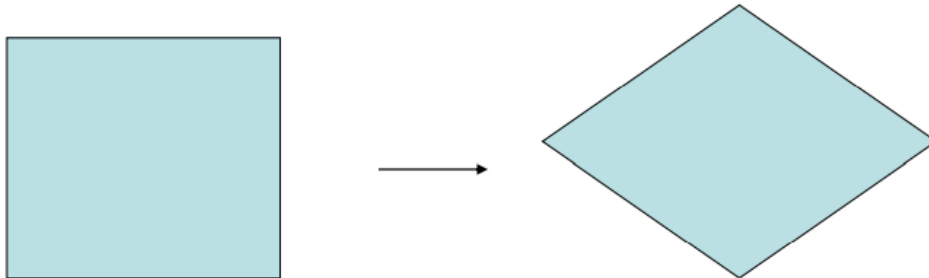
# Shear



$$\begin{bmatrix} x' \\ y' \end{bmatrix} = \begin{bmatrix} 1 & 0 \\ s & 1 \end{bmatrix} \begin{bmatrix} x \\ y \end{bmatrix} + \begin{bmatrix} d_x \\ d_y \end{bmatrix}$$

# Affine Transform

Rotation+Scaling+Sheer+Translation

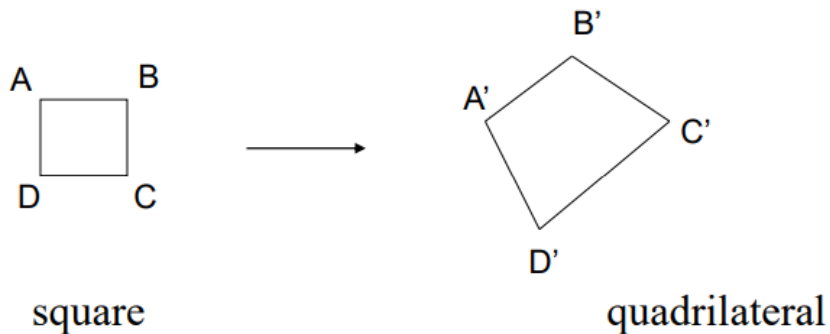


square

parallelogram

$$\begin{bmatrix} x' \\ y' \end{bmatrix} = \begin{bmatrix} a_{11} & a_{12} \\ a_{21} & a_{22} \end{bmatrix} \begin{bmatrix} x \\ y \end{bmatrix} + \begin{bmatrix} d_x \\ d_y \end{bmatrix}$$

# Projective Transform



square

quadrilateral

$$x' = \frac{a_1x + a_2y + a_3}{a_7x + a_8y + 1}$$

$$y' = \frac{a_4x + a_5y + a_6}{a_7x + a_8y + 1}$$

<https://blog.csdn.net/newkelt/article/details/51752283>

## 插值法 interpolation

用于平移旋转后点不在整像素点的情况

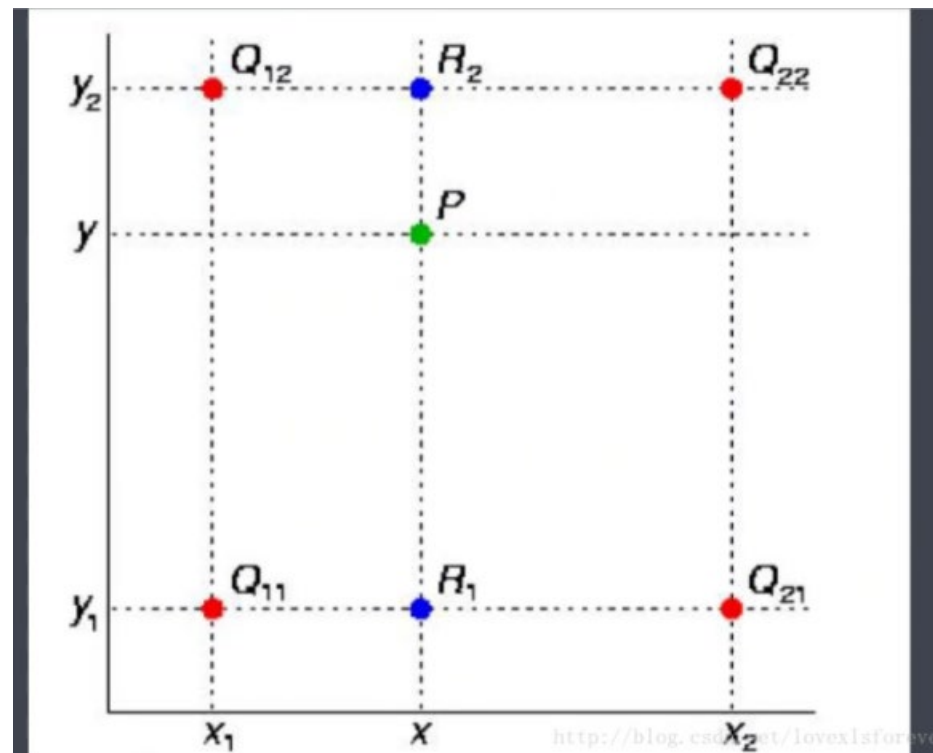
方法：邻近插值，双线性插值

邻近插值

把最近的像素点的值赋给目标

双线性插值

从目标图像来考虑



$$f(x, y) \approx \frac{f(Q_{11})}{(x_2 - x_1)(y_2 - y_1)}(x_2 - x)(y_2 - y) + \frac{f(Q_{21})}{(x_2 - x_1)(y_2 - y_1)}(x - x_1)(y_2 - y)$$

$$+ \frac{f(Q_{12})}{(x_2 - x_1)(y_2 - y_1)}(x_2 - x)(y - y_1) + \frac{f(Q_{22})}{(x_2 - x_1)(y_2 - y_1)}(x - x_1)(y - y_1).$$

f 意为求对应坐标的灰度，xy 是小数

流程：

1. 遍历目标图像的像素
2. 通过当前目标图像的像素逆推回原图该像素的坐标
3. 如果是整数，直接赋值，若小数，则双线性插值，此时 xy 为小数，Q11, Q12, Q21, Q22 为原图中这个小数坐标周围四个点
4. 根据公式算出当前目标图像的像素的灰度

## Filter

Correlation (协相关) 与 convolution (卷积) 区别

卷积转 filter 180 度而协相关不转, 若 filter 中心对称则两者一样

Filter 种类

Average filter: 
$$\begin{bmatrix} \frac{1}{9} & \frac{1}{9} & \frac{1}{9} \\ \frac{1}{9} & \frac{1}{9} & \frac{1}{9} \\ \frac{1}{9} & \frac{1}{9} & \frac{1}{9} \end{bmatrix}$$

Median filter: 对 9 个数排序取中位数作为输出

高斯 filter: 中心对称的二维高斯矩阵

$$G_{\sigma} = \frac{1}{2\pi\sigma^2} e^{-\frac{(x^2+y^2)}{2\sigma^2}}$$

x,y 为 filter 矩阵的位置

sigma 为标准差, 越大图越模糊, 高斯矩阵所有数都接近, 类似 average filter

Bilateral filter: 去除噪点, 变模糊, 但保留边缘

**空间距离:** 指的是当前点与中心点的欧式距离。空间域高斯函数其数学形式为:

$$e^{-\frac{(x_i-x_c)^2+(y_i-y_c)^2}{2\sigma^2}}$$

其中 (xi,yi) 为当前点位置, (xc,yc) 为中心点的位置, sigma 为空间域标准差。

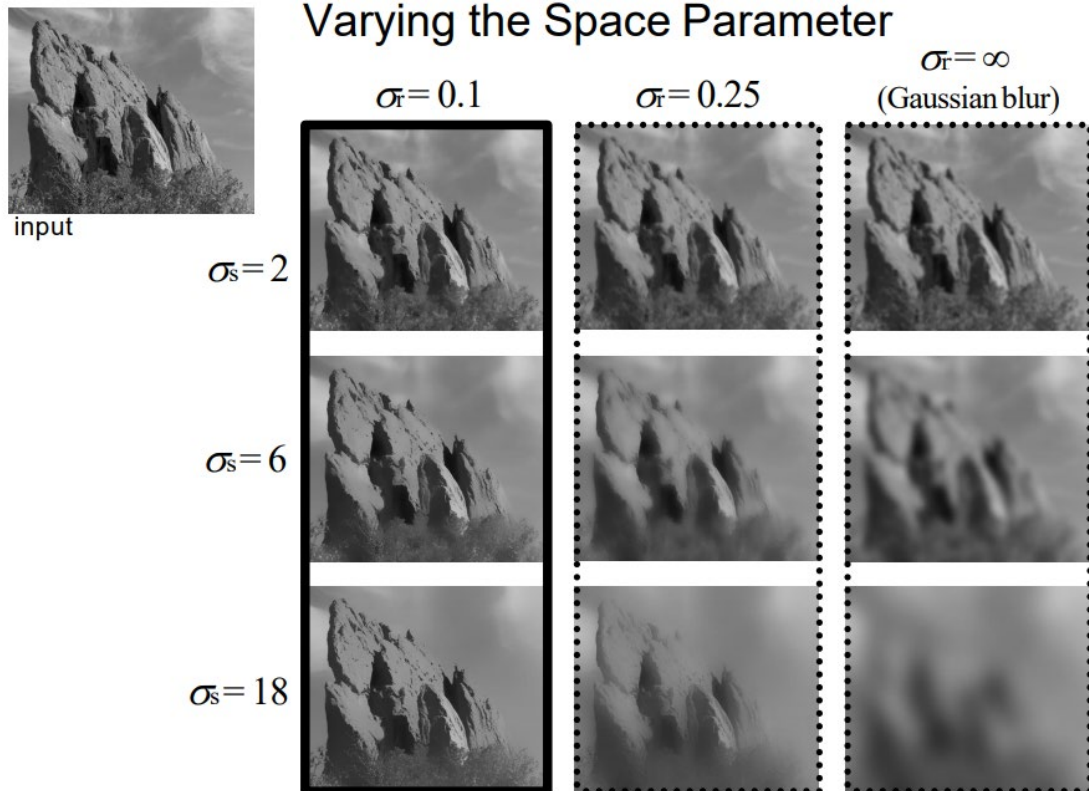
**灰度距离:** 指的是当前点灰度与中心点灰度的差的绝对值。值域高斯函数其数学形式为:

$$e^{-\frac{(\text{gray}(x_i,y_i)-\text{gray}(x_c,y_c))^2}{2\sigma^2}}$$

其中 gray(xi,yi) 为当前点灰度值, gray(xc,yc) 为中心点灰度值, sigma 为值域标准差。

$$w(i,j,k,l) = \exp\left(-\frac{(i-k)^2+(j-l)^2}{2\sigma_d^2} - \frac{\|\mathbf{f}(i,j) - \mathbf{f}(k,l)\|^2}{2\sigma_r^2}\right)$$

Exp (空间距离+灰度距离)



Sigmar 是值域标准差，sigmas 是空间域标准差

## Edge Detection

梯度，x 方向与 y 方向，分别对对应方向的灰度值求差就是梯度

梯度的模， $(x \text{ 方向梯度}^2 + y \text{ 方向梯度}^2)^{0.5}$

不同的边缘检测算子

## Finite Difference filters

Other approximations of derivative filters exist:

Prewitt:  $M_x = \begin{bmatrix} -1 & 0 & 1 \\ -1 & 0 & 1 \\ -1 & 0 & 1 \end{bmatrix}$  ;  $M_y = \begin{bmatrix} 1 & 1 & 1 \\ 0 & 0 & 0 \\ -1 & -1 & -1 \end{bmatrix}$

Sobel:  $M_x = \begin{bmatrix} -1 & 0 & 1 \\ -2 & 0 & 2 \\ -1 & 0 & 1 \end{bmatrix}$  ;  $M_y = \begin{bmatrix} 1 & 2 & 1 \\ 0 & 0 & 0 \\ -1 & -2 & -1 \end{bmatrix}$

Roberts:  $M_x = \begin{bmatrix} 0 & 1 \\ -1 & 0 \end{bmatrix}$  ;  $M_y = \begin{bmatrix} 1 & 0 \\ 0 & -1 \end{bmatrix}$

下标  $x, y$  表示对  $x, y$  方向求梯度

缺陷：有噪声就分不清边缘

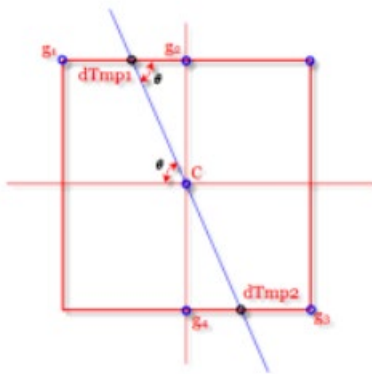
解决手段：先高斯滤波后求边缘

### Canny 算法

1. Compute  $x$  and  $y$  gradient images
2. Find magnitude and orientation of gradient
3. **Non-maximum suppression:**
  - Thin wide “ridges” down to single pixel width
4. **Linking and thresholding (hysteresis):**
  - Define two thresholds: low and high
  - Use the high threshold to start edge curves and the low threshold to continue them

先高斯滤波去噪，再算出梯度的模的图像与梯度方向

非极大值抑制，检测每个像素及其 8 个相邻像素，若中间点像素灰度最大，再检测对应方向的灰度（不一定落在像素上，必要时插值法）



$D_{tmp1}$  与  $d_{tmp2}$  为插值所得灰度，若中心的灰度比他们还大，则置为 1，其他为 0

设置两个阈值，把线分为弱边，中间与强边，弱边置零，强边置 1，中间的与强边连则当作强边，不连的为弱边

### Laplacian of Gaussian

基于二阶导数的边缘检测算法，先高斯滤波去噪，再有拉普拉斯算子

由于卷积性质，可将高斯与拉普拉斯先做卷积得到 LoG，此时只做一次卷积即可  
高斯拉普拉斯核的公式

$$LoG(x, y) = -\frac{1}{\pi\sigma^4} \left[ 1 - \frac{x^2 + y^2}{2\sigma^2} \right] e^{-\frac{x^2 + y^2}{2\sigma^2}}$$

卷积完得出的灰度图即为边缘检测结果



## Line fitting

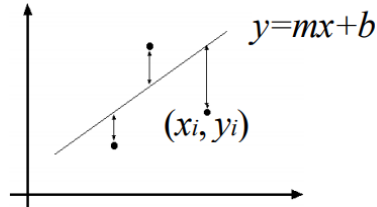
把分开的线段组成完整的线

经典基础方法：最小二乘法

### Basic line fitting: Least Squares

- Given data:  $(x_1, y_1), \dots, (x_n, y_n)$ , and
- Line model:  $y_i = mx_i + b$
- Find  $p=(m, b)$  to minimize

$$e = \sum_{i=1}^n (y_i - mx_i - b)^2$$



- So

$$e = \sum_{i=1}^n \left\{ y_i - [x_i \ 1] \begin{bmatrix} m \\ b \end{bmatrix} \right\}^2 = \left\| \begin{bmatrix} y_1 \\ \vdots \\ y_n \end{bmatrix} - \begin{bmatrix} x_1 & 1 \\ \vdots & \vdots \\ x_n & 1 \end{bmatrix} \begin{bmatrix} m \\ b \end{bmatrix} \right\|^2 = \|y - Ap\|^2$$
$$= y^T y - 2(Ap)^T y + (Ap)^T (Ap)$$

$$\frac{de}{dp} = 2A^T Ap - 2A^T y = 0$$

$$\therefore p = (A^T A)^{-1} A^T y$$

$$\text{Matlab: } p = A \setminus y;$$

54

Modified from S. Lazebnik

最小二乘法缺点：对异常值特别敏感

改进方法 m 估计：迭代加权最小二乘估计回归系数，根据回归残差的大小确定各点的权  $w_i$ ，以达到稳健的目的，偏差大的（离群点）权值小，偏差小的权值大。

## RANSAC 拟合直线

$N$  - 样本点个数

$K$  - 求解模型需要最少的点的个数

1. 随机采样  $K$  个点
2. 对该  $K$  个点拟合模型
3. 计算其它点到拟合模型的距离  
小于一定阈值，当作内点，统计内点个数
4. 重复  $M$  次，选择内点数最多的模型
5. 利用所有的内点重新估计模型 (可选)

拟合直线时  $k = 2$ ，画出一条直线，在截距正负  $\sigma$ （人定的）内的点归为内点，然后再

重新随机选两个点… 重复 m (人定的) 次, 内点个数最多的为当前最好的模型

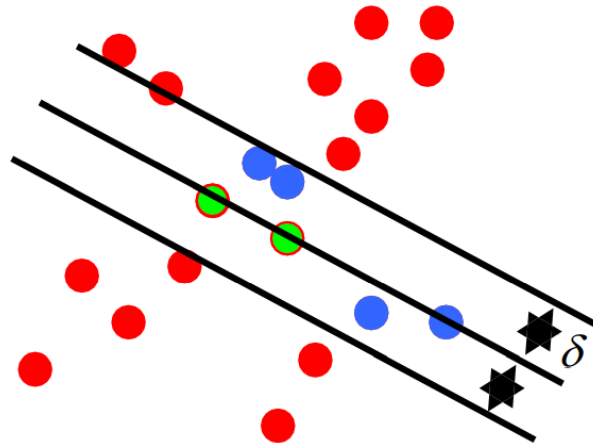
## RANSAC

Line fitting example

$$N_I = 6$$

... ..

霍夫变换



Date:

No.

迪卡尔: 知一个点  $(x_1, y_1)$   
过此点所有线  $y_1 = ax_1 + b$

霍夫空间:  $b = -ax_1 + y_1$

此时  $x_1$  为斜率,  $y_1$  截距  
 $x_1, y_1$  定, 则直线确定

知一条线

迪卡尔:  $(x_1, y_1), (x_2, y_2)$  在一线  

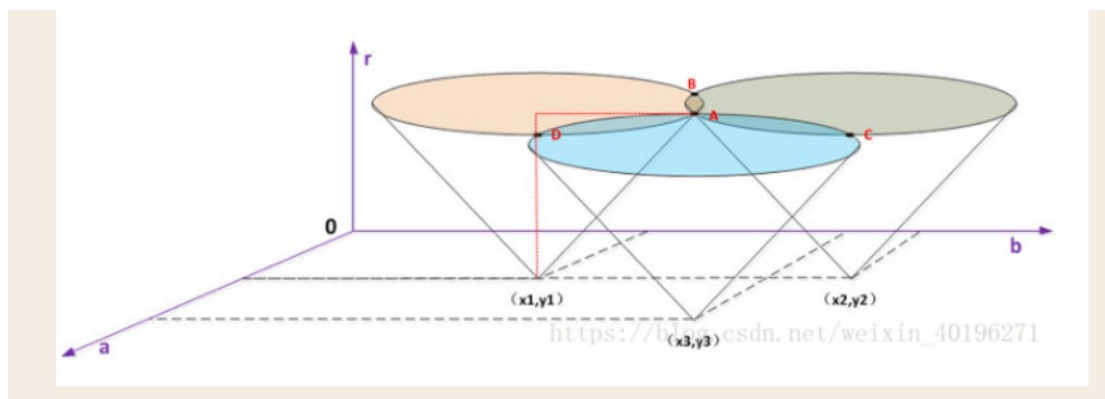
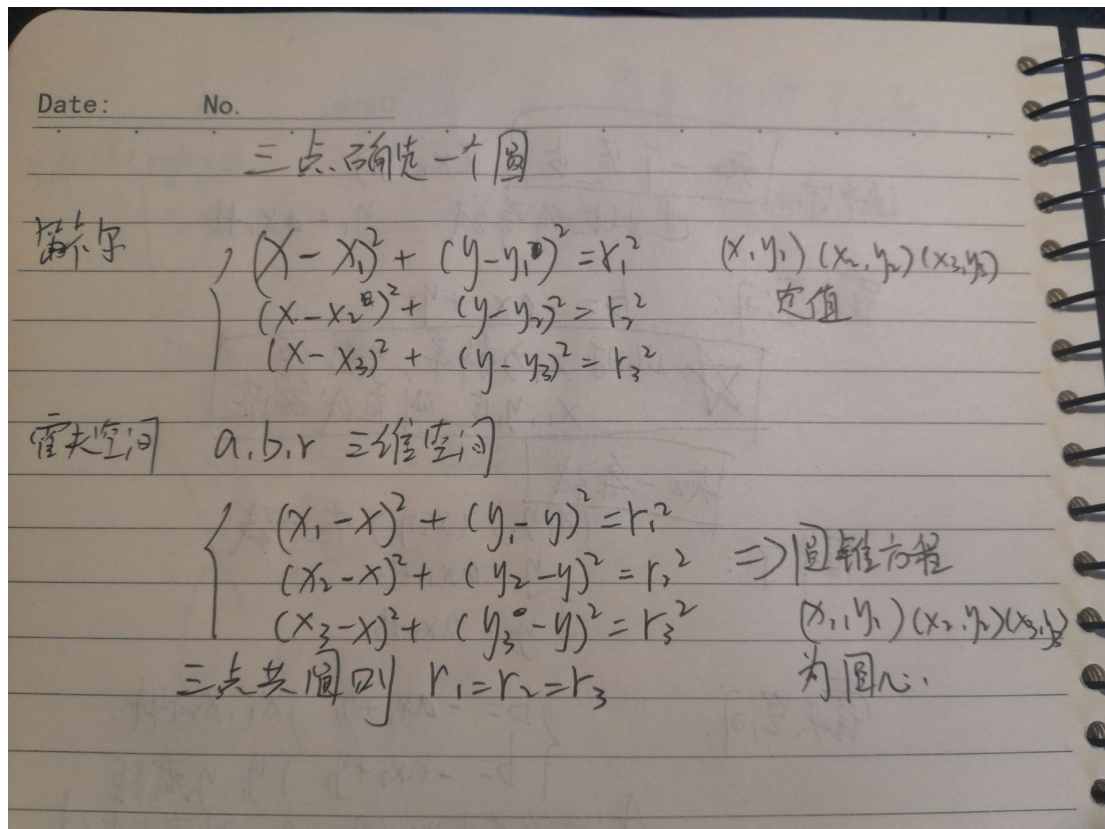
$$\begin{cases} y_1 = ax_1 + b \\ y_2 = ax_2 + b \end{cases}$$

霍夫空间:  $\begin{cases} b = -ax_1 + y_1 \\ b = -ax_2 + y_2 \end{cases}$   $x_1, x_2$  斜率  
 $y_1, y_2$  截距

两条直线交于一点, 则两点共线

总结: 判断图像上多点共线,  $(x, y)$  为图像坐标  
(简单)

为每个点画出霍夫空间上对应直线, 求  
 $n$  线共点的交点为所求直线的参数



若三点共圆，则  $r$  能被唯一确定且三个圆只交于一个点，那么唯一交点  $A$  坐标  $(a, b, r)$  为笛卡尔坐标系中，三点共圆的圆的方程参数，圆心坐标与半径

## feature point

哈里斯角：

1. 遍历每个像素，计算  $x$  方向梯度与  $y$  方向梯度  $I_x, I_y$
2. 算  $I_x^2, I_y^2, I_x \cdot I_y$
3. 定义每个像素的哈里斯矩阵

$$M = \sum_{x,y} w(x,y) \begin{bmatrix} I_x^2 & I_x I_y \\ I_x I_y & I_y^2 \end{bmatrix}$$

窗口功能，计算权重  $w(x, y)$  取值为1

图像每个像素点X方向的强度  $I_x$ ，Y方向强度  $I_y$  得到的Harris矩阵

4. 对于哈里斯矩阵算角响应值  $R$

Measure of corner response: (Cornersness)

$$R = \det M - k (\text{trace } M)^2$$

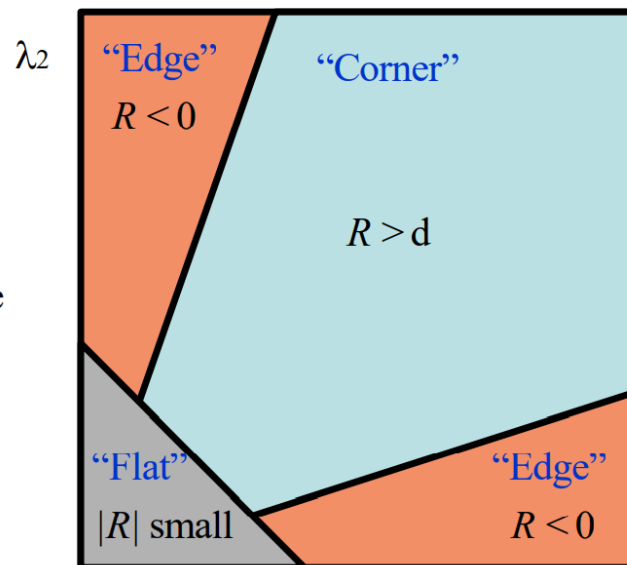
$$\det M = \lambda_1 \lambda_2$$

$$\text{trace } M = \lambda_1 + \lambda_2$$

( $k$  – empirical constant,  $k = 0.01-0.1$ )

5. 判断像素是否是角与非极大值抑制

- $R$  depends only on eigenvalues of  $M$
- $R$  is large for a **corner**
- $R$  is negative with large magnitude for an **edge**
- $|R|$  is small for a **flat** region



$d$  为阈值，大于  $d$  则为角， $d$  是手动设的

用  $3 \times 3$  或  $5 \times 5$  的滑动窗口遍历图像非极大值抑制，若中心点不是最大的，那么就把它从角点中去除

6. 把角点标记

Sift (Scale Invariant Feature Transform)

## Advantages of SIFT

- **Locality:** features are local, so robust to occlusion and clutter (no prior segmentation)
- **Distinctiveness:** individual features can be matched to a large database of objects
- **Quantity:** many features can be generated for even small objects
- **Efficiency:** close to real-time performance
- **Extensibility:** can easily be extended to wide range of differing feature types, with each adding robustness



# Overall Procedure at a High Level

## 1. Scale-space extrema detection

Search over multiple scales and image locations.

## 2. Keypoint localization

Fit a model to determine location and scale.  
Select keypoints based on a measure of stability.

## 3. Orientation assignment

Compute best orientation(s) for each keypoint region.

## 4. Keypoint description

Use local image gradients at selected scale and rotation to describe each keypoint region.

**SIFT算法的特点有：**

1. SIFT特征是图像的局部特征，其对旋转、尺度缩放、亮度变化保持不变性，对视角变化、仿射变换、噪声也保持一定程度的稳定性；
2. 独特性 (Distinctiveness) 好，信息量丰富，适用于在海量特征数据库中进行快速、准确的匹配；
3. 多量性，即使少数的几个物体也可以生大量的SIFT特征向量；
4. 高速性，经优化的SIFT匹配算法甚至可以达到实时的要求；
5. 可扩展性，可以很方便的与其他形式的特征向量进行联合。

应用

**SIFT算法可以解决的问题：**

1. 目标的旋转、缩放、平移 (RST)
2. 图像仿射/投影变换 (视点viewpoint)
3. 光照影响 (illumination)
4. 目标遮挡 (occlusion)
5. 杂物场景 (clutter)
6. 噪声

实现尺度不变性：

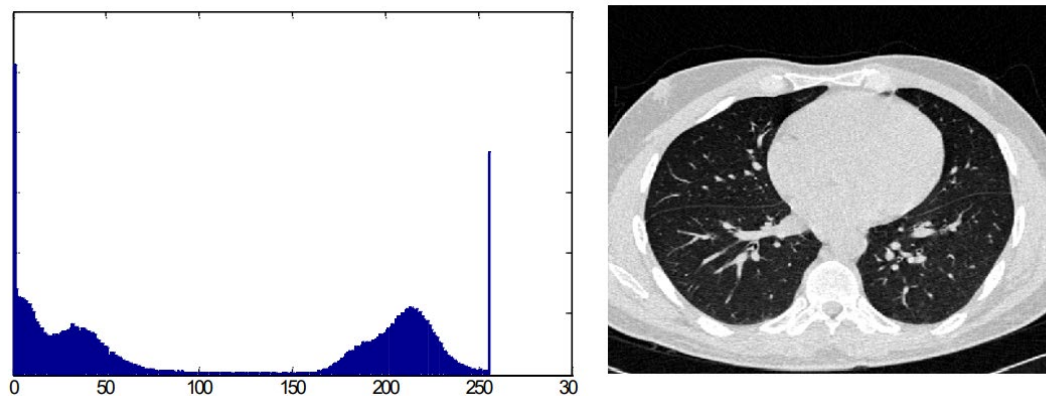
构建高斯金字塔，把所有尺度下的特征都学习一次  
高斯差分（高斯金字塔的细节）

SIFT 算法建议，在某一尺度上对特征点的检测，可以通过对两个相邻高斯尺度空间的图像相减，得到一个 DoG (Difference of Gaussians) 的响应值图像  $D(x,y,\sigma)$  (图像特征)。然后，仿照 LoG 方法，通过对响应值图像  $D(x,y,\sigma)$  进行非最大值抑制(局部极大搜索，正最大和负最大)，在位置空间和尺度空间中定位特征点。

## Segmentation

### 基于直方图的 ohlander 算法

直方图用于分割则关注峰值，先人为规定有  $k$  类，然后循环  $k$  次，每次看直方图的最大峰值，然后把最大峰值周围的一片归为一类，再把这一类从直方图中删去，循环



例子：有 4 个明显峰值， $k$  设为 4

### k-means 用于分割图像

1. 人为规定  $k$  类
2. 随机选  $k$  个点，坐标位置随机选出
3. 计算各点到这  $k$  个点的距离，距离哪个点近 ( $k$  个点中)，则分到那一类
4. 用分好类的点算中点，把这些中点当作新的分类点
5. 回到步骤 2，直到算法收敛

Kmeans 优点缺点

#### Pros:

- Finds cluster centers that minimize variance (good representation of data)
- Simple to implement, widespread applications.

#### Cons:

- All clusters have spherical distribution (same to all directions or isotropic)
- Hard membership/assignment (i.e. 1 or 0 membership)
- Prone to local minima
- Need to choose  $K$
- Can be very slow: each iteration is  $O(KN)$  for  $N$ -dimensional points

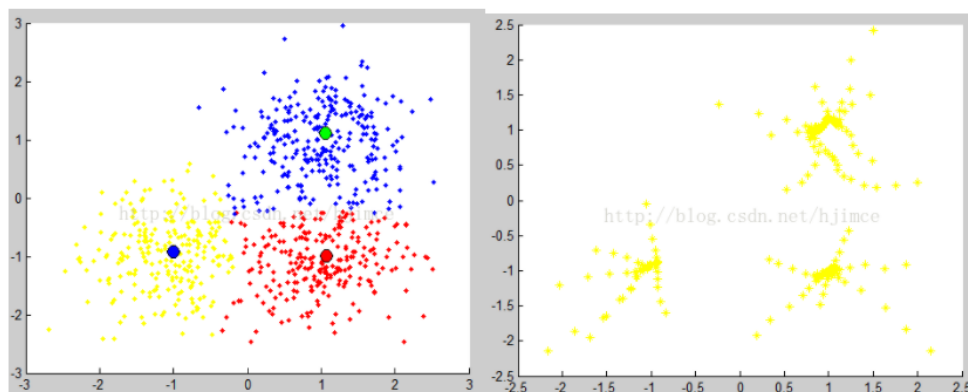


## Mean-shift 均值漂移

假设在一个多维空间中有很多数据点需要进行聚类，Mean Shift的过程如下：

- 1、在未被标记的数据点中随机选择一个点作为中心center；
  - 2、找出离center距离在bandwidth之内的所有点，记做集合M，认为这些点属于簇c。同时，把这些求内点属于这个类的概率加1，这个参数将用于最后步骤的分类
  - 3、以center为中心点，计算从center开始到集合M中每个元素的向量，将这些向量相加，得到向量shift。
  - 4、 $center = center + shift$ 。即center沿着shift的方向移动，移动距离是 $\|shift\|$ 。
  - 5、重复步骤2、3、4，直到shift的大小很小（就是迭代到收敛），记住此时的center。注意，这个迭代过程中遇到的点都应该归类到簇c。
  - 6、如果收敛时当前簇c的center与其它已经存在的簇c2中心的距离小于阈值，那么把c2和c合并。否则，把c作为新的聚类，增加1类。
  - 6、重复1、2、3、4、5直到所有的点都被标记访问。
  - 7、分类：根据每个类，对每个点的访问频率，取访问频率最大的那个类，作为当前点集的所属类。
- 简单的说，mean shift就是沿着密度上升的方向寻找同属一个簇的数据点。

效果



聚类结果

圆心漂移轨迹

##### Final exam #####

## Eigenface

Eigenface 算法

N\*M 矩阵（人脸图像）

$x_1 \cdots x_m$  为 n 维向量（人脸图像的每列）

1. 求所有 m 个 n 维向量的平均向量

$$\bar{x} = \frac{1}{M} \sum_{i=1}^M x_i$$

2. 归一化，让均值为新的 0 点

$$\Phi_i = x_i - \bar{x}$$

$$A = [\Phi_1 \ \Phi_2 \ \cdots \ \Phi_M] \quad (N \times M \text{ matrix})$$

3. 计算协方差矩阵  $C = AA^T/M$
  4. 奇异值分解，计算出  $C$  的特征值与特征向量，其中特征向量为特征脸
  5. 选定  $k$ ,  $k \ll N$ ,  $N-k$  表示要降的维度数，选前  $k$  个最大的特征值对应的特征向量组成一张图，该图就是降维后模糊但保留特征的特征脸图
- 如何确定  $k$

- Choose  $K$  using the following criterion:

$$\frac{\sum_{i=1}^K \lambda_i}{\sum_{i=1}^N \lambda_i} > \text{Threshold} \quad (\text{e.g., } 0.9 \text{ or } 0.95)$$

0.9 与 0.95 代表保留的信息量

特征脸算法缺点：

对于背景与变化（例：两脸重叠）变化敏感

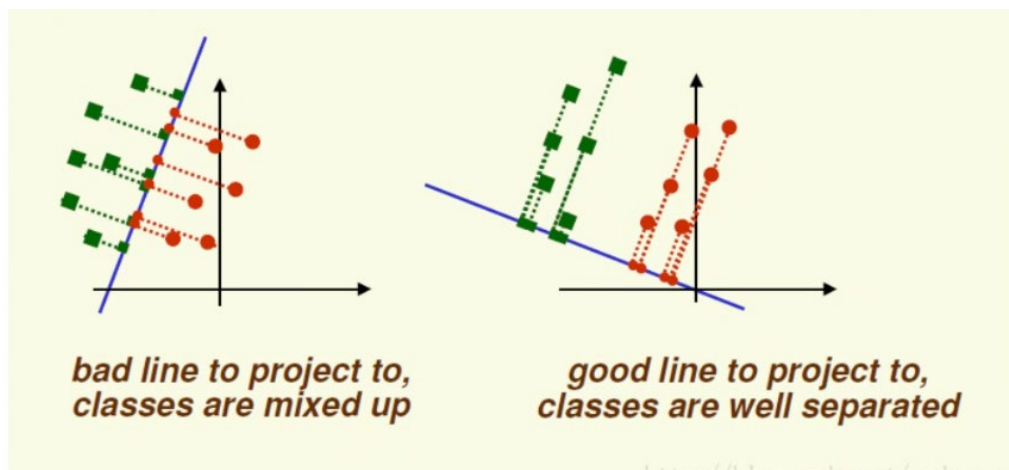
## Global appearance method: not robust to misalignment, background variation

### Fisher face

基于 LDA (Linear Discriminant Analysis, 线性判别分析)

大部分与 pca 一样，区别在于，PCA 以保留最多信息为前提，既选取一个主元，让其他维度到主元距离尽可能小

LDA 选取一个主元，让其他类到主元上的投影能完全被分开



## 3D vision

**相机定标 (calibration)**: 求内参外参矩阵, 内外参合一的矩阵可以将三维世界点投影到二维中, calibration matrix 3\*4 矩阵

**Two-view Homography**: 相机不同角度拍摄同一物体, 这两张照片遵循某种投影变换可以互相转换, homography 3\*3 矩阵

**对极几何 (epipolar geometry)**: 两视角相机看同一个三维世界点, fundamental 矩阵 (相机未定标) 或 essential 矩阵 (相机已经定标) 均为 3\*3 矩阵

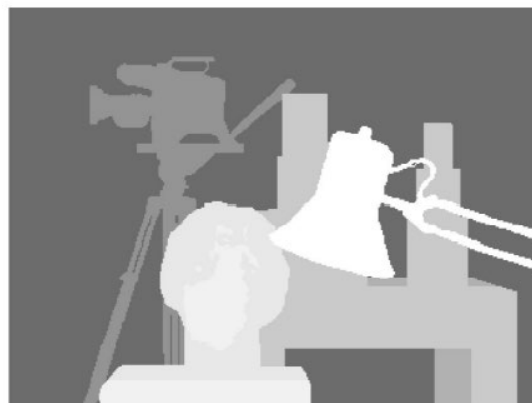
1. 对于求 essential 矩阵, 已知两相机内参矩阵  $k_1, k_2$ , 对应点  $x_1, x_2$

$$(K_2^{-1} @ x_2).T @ E @ (k_1 @ x_1) = 0$$

2. 对于求 fundamental 矩阵, 已知  $x_1, x_2$

$$x_2.T @ F @ x_1 = 0$$

**Stereo Vision (立体视觉)** (生成物体到 baseline 的深度图, 可能可以区分出不同物体): 1. 两图片点的对应问题 2. 重构问题



**光流 (optical flow)**: 表示物体运动的速度, 是三维运动场在二维的投影, 可用于检测相机运动, 物体形状, 物体分割

## DLT 算法:

求相机定标的 DLT:

1. 找出六个及以上的点, 世界坐标  $X$  与图像坐标  $x$

2. 求  $T_{\text{norm}}$ ,  $S_{\text{norm}}$

$$T_{\text{norm}} = \begin{bmatrix} w+h & 0 & w/2 \\ 0 & w+h & h/2 \\ 0 & 0 & 1 \end{bmatrix}^{-1} \quad S_{\text{norm}} = \begin{bmatrix} V \text{diag}(\lambda_1^{-1}, \lambda_2^{-1}, \lambda_3^{-1}) V^{-1} & -V \text{diag}(\lambda_1^{-1}, \lambda_2^{-1}, \lambda_3^{-1}) V^{-1} \mu_{x_i} \\ 0 & 1 \end{bmatrix}$$

$$V \text{diag}(\lambda_1, \lambda_2, \lambda_3) V^{-1} = \text{eig} \left( \sum_i (x_{i, \text{nonhom}} - \mu_{x_i})(x_{i, \text{nonhom}} - \mu_{x_i})^T \right)$$

3.

$$\tilde{x}_i = T_{\text{norm}} x_i, \tilde{X}_i = S_{\text{norm}} X_i$$

- 构造  $2n \times 12$  的 A 矩阵,  $n$  为点对个数, 每个点对按以下构建两行, A 矩阵为这些行摞起来

$$\begin{bmatrix} 0 & 0 & 0 & 0 & -w_i X_1 & -w_i X_2 & -w_i X_3 & -w_i & y_i X_1 & y_i X_2 & y_i X_3 & y_i \\ w_i X_1 & w_i X_2 & w_i X_3 & w_i & 0 & 0 & 0 & 0 & -x_i X_1 & -x_i X_2 & -x_i X_3 & -x_i \end{bmatrix}$$

- 对 A 做奇异值分解  $U * \text{sigma} * V.T = A$ ,  $p$  为  $V$  的最后一列
- 将  $p$  reshape 成  $3 \times 4$  矩阵, 最终答案为  $T_{\text{norm}}^{-1} @ p @ S_{\text{norm}}$

分解相机定标矩阵得到  $k$  (内参矩阵),  $R$  (旋转矩阵),  $t$  (相机原点, 平移)

- 先求相机中心  $c$ : 将  $p$  (相机定标矩阵) 奇异值分解,  $p = U * \text{sigma} * V.T$ ,  $c$  为  $V$  矩阵最后一列
- $P = [M | -Mc]$ ,  $M$  矩阵为  $p$  的前三列, 为  $3 \times 3$  矩阵, 对  $M$  做 RQ 分解得  $k$  矩阵与  $R$  矩阵

### 求 homography 的 DLT:

- 找出 4 个及以上的点对, 两张图片的对应点
- 求  $T_{\text{norm}}$

$$T_{\text{norm}} = \begin{bmatrix} w+h & 0 & w/2 \\ 0 & w+h & h/2 \\ 0 & 0 & 1 \end{bmatrix}^{-1}$$

- 把两个图片的点分别标准化

$$\tilde{X}_i = T_{\text{norm}} X_i, \tilde{X}'_i = T'_{\text{norm}} X'_i$$

- 构造  $2n \times 9$  的 A 矩阵,  $n$  为点对个数, 每个点对按以下构建两行, A 矩阵为这些行摞起来

$$\begin{bmatrix} 0 & 0 & 0 & -x_i & -y_i & -1 & y'_i x_i & y'_i y_i & y'_i \\ x_i & y_i & 1 & 0 & 0 & 0 & -x'_i x_i & -x'_i y_i & -x'_i \end{bmatrix}$$

- 对 A 做奇异值分解  $U * \text{sigma} * Vt = A$ ,  $h$  为  $V$  的最后一列
- 将  $h$  reshape 成  $3 \times 3$  矩阵, 最终答案为  $T_{\text{norm}}^{-1} @ h @ T_{\text{norm}}$

### 求 fundamental/essential 矩阵的 dlt, 8 点算法:

- 找出 8 个及以上的点对, 两张图片 (可能是不同相机拍的) 的对应点
- 求  $T_{\text{norm}1} (T_{\text{norm}})$ ,  $T_{\text{norm}2} (T'_{\text{norm}})$

$$T_{norm} = \begin{bmatrix} 2/w & 0 & -1 \\ 0 & 2/h & -1 \\ 0 & 0 & 1 \end{bmatrix}$$

3. 把两个图片的点分别标准化

$$\tilde{X}_i = T_{norm} X_i, \tilde{X}'_i = T'_{norm} X'_i$$

4. 构造  $n \times 9$  的 A 矩阵,  $n$  为点对个数, A 矩阵如下

$$\begin{bmatrix} u_1 u_1' & v_1 u_1' & u_1' & u_1 v_1' & v_1 v_1' & v_1' & u_1 & v_1 & 1 \\ u_2 u_2' & v_2 u_2' & u_2' & u_2 v_2' & v_2 v_2' & v_2' & u_2 & v_2 & 1 \\ \vdots & \vdots & \vdots & \vdots & \vdots & \vdots & \vdots & \vdots & \vdots \\ u_n u_n' & v_n u_n' & u_n' & u_n v_n' & v_n v_n' & v_n' & u_n & v_n & 1 \end{bmatrix}$$

5. 对  $A.T @ A$  做特征值分解,  $f$  为最小的特征值对应的特征向量
6. 把  $f$  reshape 成  $3 \times 3$  矩阵  $F1$ , 对  $F1$  做奇异值分解,  $F1 = U @ \text{sigma} @ V.T$
7. 将  $\text{sigma}$  ( $3 \times 3$  的对角矩阵) 最后一行全置为 0, 得到新的  $\text{sigma}1$
8. Fundamental 矩阵  $F = T_{norm2}.T @ (U @ \text{sigma}1 @ V.T) @ T_{norm1}$

### 用 RANSAC 去除离群点用于求 fundamental 矩阵:

Loop:

选 8 个最小样本点对

计算 F 矩阵

确定内点 (inliers, 要用的点)

Until 选择的内点占样本的比例大于 95%或重复了太多次循环

用所有的这些内点计算 F 矩阵, 这样很精确

### 分解 essential 矩阵

已知:

$$W = \begin{bmatrix} 0 & -1 & 0 \\ 1 & 0 & 0 \\ 0 & 0 & 1 \end{bmatrix} \quad Z = \begin{bmatrix} 0 & 1 & 0 \\ -1 & 0 & 0 \\ 0 & 0 & 0 \end{bmatrix}$$

$$\mathbf{E} = \mathbf{U} \begin{bmatrix} 1 & 0 & 0 \\ 0 & 1 & 0 \\ 0 & 0 & 0 \end{bmatrix} \mathbf{V}^T$$

可求出 tx 与 R

tx = U @ Z @ U.T,    R = U @ W @ V.T 或 U @ W.T @ V.T

### 三角测距( Triangulation 通过图像上的点对算出真实的点的位置 X )dlt 算法:

1. 已知 两相机的定标矩阵  $p, p'$ , 照片上的对应点,  $x, x'$
2. 构建矩阵 A 如下

$$\mathbf{x} = \begin{bmatrix} u \\ v \\ 1 \end{bmatrix} \quad \mathbf{x}' = \begin{bmatrix} u' \\ v' \\ 1 \end{bmatrix}$$

$$\mathbf{P} = \begin{bmatrix} \mathbf{p}_1^T \\ \mathbf{p}_2^T \\ \mathbf{p}_3^T \end{bmatrix} \quad \mathbf{P}' = \begin{bmatrix} \mathbf{p}'1^T \\ \mathbf{p}'2^T \\ \mathbf{p}'3^T \end{bmatrix}$$

$$\mathbf{A} = \begin{bmatrix} u\mathbf{p}_3^T - \mathbf{p}_1^T \\ v\mathbf{p}_3^T - \mathbf{p}_2^T \\ u'\mathbf{p}'3^T - \mathbf{p}'1^T \\ v'\mathbf{p}'3^T - \mathbf{p}'2^T \end{bmatrix}$$

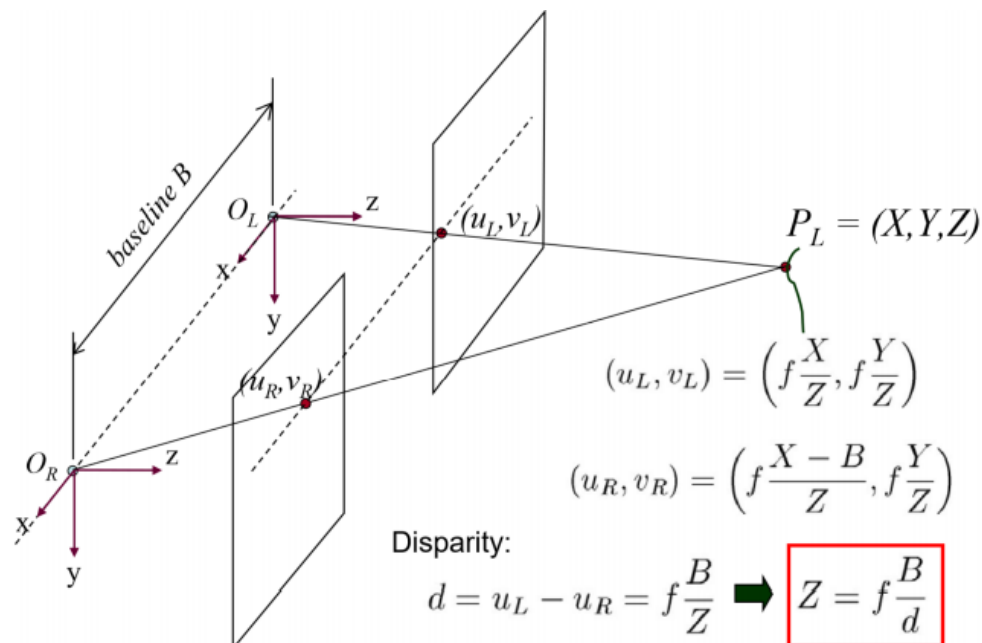
3. 对 A 奇异值分解,  $A = U @ \text{sigma} @ V.T$
4. V 的最后一列为答案 X, 3d 位置

### Stereo Vision 基本算法:

1. Image Acquisition (图像采集): 用一个特别相机坐标 (平行的两个位置) 获取一个事物的两张图
2. Cameral modelling (相机建模): 知道两个相机的内参, 知道两相机之间的关系 (外参, 旋转, 平移)
3. Feature Extraction (特征提取)
4. Image Matching (图像匹配)

## 5. Depth Interpolation (深度插值)

### Disparity Computation (视差计算)

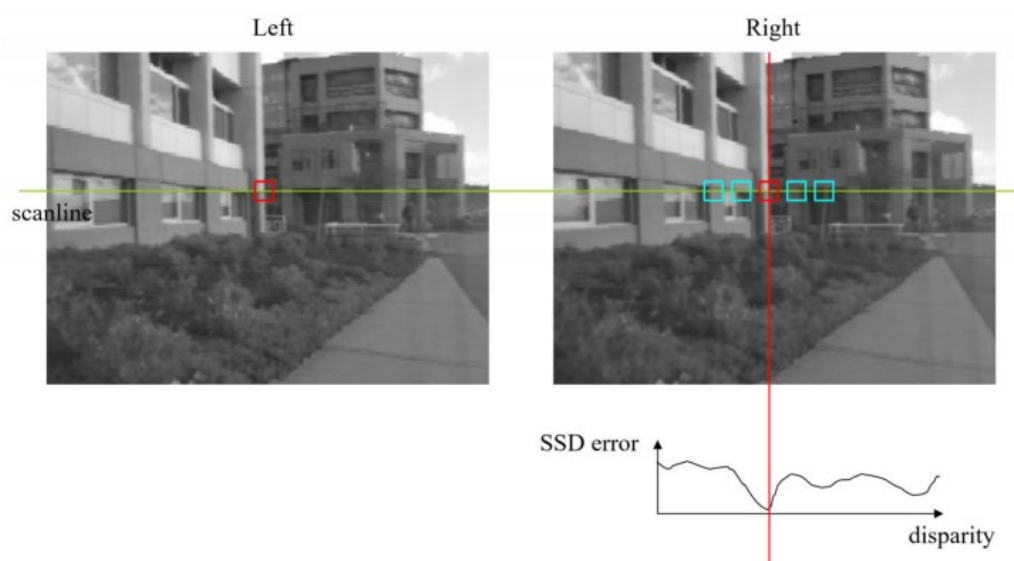


$Z$  代表点  $P_L$  到 baseline 的距离,  $d$  是  $u_L - u_R$ ,  $f$  是焦距,  $B$  是 baseline 长度

$$Z = f * B / (u_L - u_R)$$

**两图像对应问题** (Matching correlation windows, 窗口对应, 判断这两张图片的两个地方是不是在实际坐标中的同个地方)

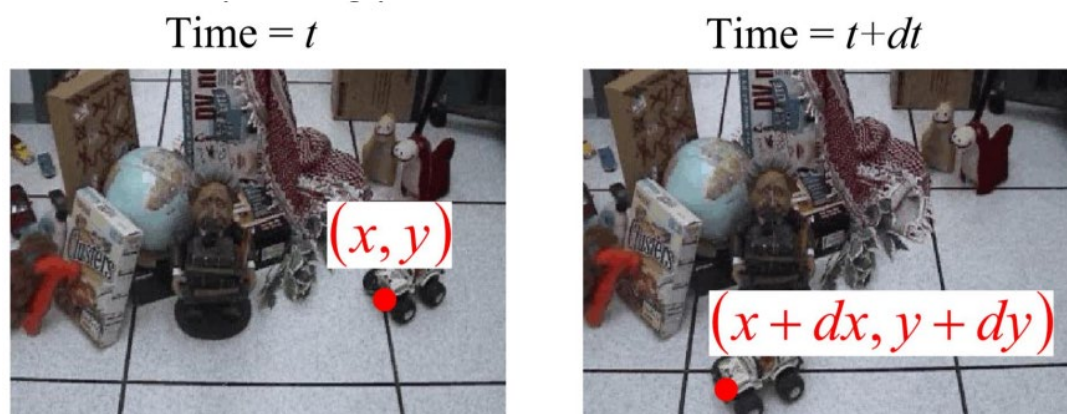
因为用了对极几何以及两相机是平行摆放的, 所以对应的两个地方 **必在同一条直线上**, 且该直线 **平行于图片坐标系的  $x$  坐标**



窗口用中心像素点来表示, 窗口大小自定 (尝试不同大小, 选最好的), 可能回影响结果  
SSD error 计算, 两窗口中的所有像素差的平方和, 选 ssd error 最小的就是对应点。



光流计算：



$$I(x, y, t) = I(x + dx, y + dy, t + dt)$$

**灰度恒等方程：**

Divide by  $dt$  and denote:  $u = \frac{dx}{dt}$   $v = \frac{dy}{dt}$

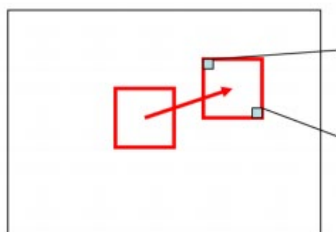
$$I_x u + I_y v = -I_t$$

$I_x, I_y, I_t$  为对  $I$  求的偏导，在计算机视觉里可为差值， $u, v$  是未知数， $(u, v)$  表示运动光流，一个方程两未知数，无法求解。

**Lucas - Kanade optical flow algorithm** (LK 光流算法)：(对噪声不敏感)

假设在两临近的窗口中，运动  $(u, v)$  不变，窗口均为  $5 \times 5$

Using a  $5 \times 5$  image patch, gives us 25 equations



$$I_x(\mathbf{p}_1)u + I_y(\mathbf{p}_1)v = -I_t(\mathbf{p}_1)$$

$$I_x(\mathbf{p}_2)u + I_y(\mathbf{p}_2)v = -I_t(\mathbf{p}_2)$$

$\vdots$

$$I_x(\mathbf{p}_{25})u + I_y(\mathbf{p}_{25})v = -I_t(\mathbf{p}_{25})$$

s, Kanade, 1981

$$A\vec{u} = \vec{b}$$

54

解方程如下  $x$  向量：



$$\text{Goal: Minimize } \|A\vec{u} - b\|^2$$

Equivalent to Solving:

$$A^T A \hat{x} = A^T b$$

$$\begin{bmatrix} \sum_{p \in P} I_x I_x & \sum_{p \in P} I_x I_y \\ \sum_{p \in P} I_y I_x & \sum_{p \in P} I_y I_y \end{bmatrix} \begin{bmatrix} u \\ v \end{bmatrix} = - \begin{bmatrix} \sum_{p \in P} I_x I_t \\ \sum_{p \in P} I_y I_t \end{bmatrix}$$

where the summation is over each pixel  $p$  in patch  $P$

$$x = (A^T A)^{-1} A^T b$$

A.T @ A 类似哈里斯角点检测里的窗口

**Horn - Schunck Optical Flow Algorithm:**

- Regularisation: use a global smoothness term

Smoothness error:  $E_s = \iint_D (u_x^2 + u_y^2 + v_x^2 + v_y^2) dx dy$

Error in brightness constancy equation  $E_c = \iint_D (I_x u + I_y v + I_t)^2 dx dy$

$$\text{Minimize: } E_c + \lambda E_s$$

Solve by calculus of variations

不用窗口，利用全局信息，求出平滑误差与灰度恒等误差，使  $E_c + \lambda E_s$  最小，可求出运动  $(u, v)$

3d 重建 (shape from x)

1. Shape from shading (阴影)
2. Shape from specular highlights (高光)
3. Shape from texture (纹理)

**Lambertian reflection (兰伯特反射)**

$I = kd \mathbf{N} \cdot \mathbf{L}$   $kd$  是反射系数,  $\mathbf{N}$  是兰伯特面法线,  $\mathbf{L}$  是入射光线,  $\mathbf{N}, \mathbf{L}$  为单位向量,  $I$  是像素灰度

$$I(x, y) = R(p, q) = \hat{n} \cdot \hat{l} = \frac{1 + p_s p + q_s q}{\sqrt{1 + p^2 + q^2} \sqrt{1 + p_s^2 + q_s^2}}$$

$(p, q, -1)$  – surface normal

$(p_s, q_s, -1)$  – light source direction

$p, q$  代表法线,  $p_s, q_s$  代表光源线

## Neural network

Activation function: sigmoid (映射到 0 到 1 之间), ReLU (映射到 0, max), tanh (映射到 -1 到 1 之间)

$$S(x) = \frac{1}{1 + e^{-x}}$$

sigmoid 导数 =  $s(x)(1-s(x))$

$$\tanh x = \frac{\sinh x}{\cosh x} = \frac{e^x - e^{-x}}{e^x + e^{-x}}$$

图像 2 分类与多分类, 例子均为 28\*28 图像

**2 分类**, 把图像变成 1\*784 向量  $x$ ,  $w$  是 784 个像素的权重, 为 784\*1 的向量,  $b$  是 bias  
结果 =  $x @ w + b$

**多分类**, 还是  $x$  向量,  $w$  是每个像素每个感知机的权重, 为 784\*10 矩阵,  $b$  是每个感知机的 bias, 10 维向量  
结果 =  $x @ w + b$

$$a(\mathbf{x})_i = b_i^{(1)} + \mathbf{w}_i^{T(1)} \begin{bmatrix} x_1 \\ \dots \\ x_d \end{bmatrix}$$

$$= W_{i1}x_1 + \dots + W_{id}x_d + b_i$$

神经元的输出:

**权重\*输入的连求和加 bias**

多分类问题输出, softmax 函数, 每个数是每个分类的概率, 加起来和为 1

梯度下降, 学习率:

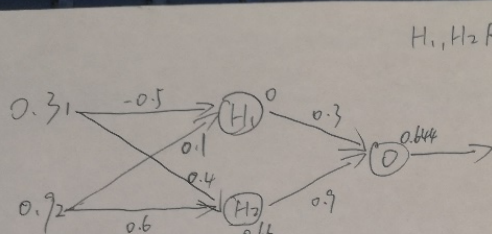
$$\theta_1 = \theta_0 - \gamma \cdot \nabla f(\theta_0)$$

**CNN 识别 (recognition) 与检测 (detection) 的区别:**

识别只是分类任务, 输出是什么东西的概率, 检测是输出每个 boundingbox 是什么类的概

率，且输出 boundingbox 的中心与这个 boundingbox 有多大

## 反向传播例子



$H_1, H_2$  ReLU,  $O$  是 Sigmoid, 理想输出为 0

$W_{H1,0}$  权重

$y_0$ :  $O$  的输出

$z_0$ :  $O$  的输入

Loss function =  $\frac{1}{2}(y_0 - y_t)^2$

$y_t$ : 理想输出

梯度下降:  $W_i = W_i - \eta \frac{\partial L}{\partial W_i}$

学习率

权重梯度

求  $\frac{\partial L}{\partial W_{H1,0}}$ :

$$\begin{cases} L = \frac{1}{2}(y_0 - y_t)^2 \\ y_0 = f(z_0) \\ z_0 = W_{H1,0}y_{H1} + W_{H2,0}y_{H2} \end{cases}$$

$$\begin{aligned} \frac{\partial L}{\partial W_{H1,0}} &= \frac{\partial L}{\partial y_0} \cdot \frac{\partial y_0}{\partial z_0} \cdot \frac{\partial z_0}{\partial W_{H1,0}} \\ &= y_0 \cdot y_0 \cdot (1 - y_0) \cdot y_{H1} \\ &= 0 \end{aligned}$$

求  $\frac{\partial L}{\partial W_{H2,0}}$ :

$$\begin{cases} L = \frac{1}{2}(y_0 - y_t)^2 \\ y_0 = f(z_0) \\ z_0 = W_{H1,0}y_{H1} + W_{H2,0}y_{H2} \end{cases}$$

$$\begin{aligned} \frac{\partial L}{\partial W_{H2,0}} &= \frac{\partial L}{\partial y_0} \cdot \frac{\partial y_0}{\partial z_0} \cdot \frac{\partial z_0}{\partial W_{H2,0}} \\ &= y_0 \cdot y_0 \cdot (1 - y_0) \cdot y_{H2} \\ &= 0.07 \end{aligned}$$

求  $\frac{\partial L}{\partial W_{H1,1}}$ :

$$\begin{cases} L = \frac{1}{2}(y_0 - y_t)^2 \\ y_0 = f(z_0) \\ z_0 = W_{H1,0}y_{H1} + W_{H2,0}y_{H2} \\ y_{H1} = f(z_{H1}) \\ z_{H1} = y_1 W_{1,H1} + y_2 W_{2,H1} \end{cases}$$

$$\begin{aligned} \frac{\partial L}{\partial W_{H1,1}} &= \frac{\partial L}{\partial y_0} \cdot \frac{\partial y_0}{\partial z_0} \cdot \frac{\partial z_0}{\partial y_{H1}} \cdot \frac{\partial y_{H1}}{\partial z_{H1}} \cdot \frac{\partial z_{H1}}{\partial W_{H1,1}} \\ &= y_0 \cdot y_0 \cdot (1 - y_0) \cdot W_{H1,0} \cdot 0 \cdot 0 \\ &= 0 \end{aligned}$$

求  $\frac{\partial L}{\partial W_{H2,1}}$ :

$$\begin{cases} L = \frac{1}{2}(y_0 - y_t)^2 \\ y_0 = f(z_0) \\ z_0 = W_{H1,0}y_{H1} + W_{H2,0}y_{H2} \\ y_{H2} = f(z_{H2}) \\ z_{H2} = y_1 W_{1,H2} + y_2 W_{2,H2} \end{cases}$$

$$\begin{aligned} \frac{\partial L}{\partial W_{H2,1}} &= \frac{\partial L}{\partial y_0} \cdot \frac{\partial y_0}{\partial z_0} \cdot \frac{\partial z_0}{\partial y_{H2}} \cdot \frac{\partial y_{H2}}{\partial z_{H2}} \cdot \frac{\partial z_{H2}}{\partial W_{H2,1}} \\ &= y_0 \cdot y_0 \cdot (1 - y_0) \cdot W_{H2,0} \cdot 1 \cdot y_2 \\ &= 0.12 \end{aligned}$$

求  $\frac{\partial L}{\partial W_{2,H1}}$ :

$$\begin{cases} L = \frac{1}{2}(y_0 - y_t)^2 \\ y_0 = f(z_0) \\ z_0 = W_{H1,0}y_{H1} + W_{H2,0}y_{H2} \\ y_{H1} = f(z_{H1}) \\ z_{H1} = y_1 W_{1,H1} + y_2 W_{2,H1} \end{cases}$$

$$\begin{aligned} \frac{\partial L}{\partial W_{2,H1}} &= \frac{\partial L}{\partial y_0} \cdot \frac{\partial y_0}{\partial z_0} \cdot \frac{\partial z_0}{\partial y_{H1}} \cdot \frac{\partial y_{H1}}{\partial z_{H1}} \cdot \frac{\partial z_{H1}}{\partial W_{2,H1}} \\ &= y_0 \cdot y_0 \cdot (1 - y_0) \cdot W_{H1,0} \cdot 0 \cdot y_2 \\ &= 0 \end{aligned}$$

求  $\frac{\partial L}{\partial W_{1,H2}}$ :

$$\begin{cases} L = \frac{1}{2}(y_0 - y_t)^2 \\ y_0 = f(z_0) \\ z_0 = W_{H1,0}y_{H1} + W_{H2,0}y_{H2} \\ y_{H2} = f(z_{H2}) \\ z_{H2} = y_1 W_{1,H2} + y_2 W_{2,H2} \end{cases}$$

$$\begin{aligned} \frac{\partial L}{\partial W_{1,H2}} &= \frac{\partial L}{\partial y_0} \cdot \frac{\partial y_0}{\partial z_0} \cdot \frac{\partial z_0}{\partial y_{H2}} \cdot \frac{\partial y_{H2}}{\partial z_{H2}} \cdot \frac{\partial z_{H2}}{\partial W_{1,H2}} \\ &= y_0 \cdot y_0 \cdot (1 - y_0) \cdot W_{H2,0} \cdot 0 \cdot y_1 \\ &= 0.04 \end{aligned}$$